

ФОТОРЕФРАКТИВНЫЙ МЕТОД БЕСКОНТАКТНОГО ОПРЕДЕЛЕНИЯ РЕКОМБИНАЦИОННЫХ ХАРАКТЕРИСТИК ПОЛУПРОВОДНИКОВ

В. И. Миргородский, В. А. Сабликов, А. Л. Филатов

Институт радиотехники и электроники Российской академии наук,

141120, Фрязино, Россия

(Получена 9.06.1992. Принята к печати 22.06.1992)

Предложен бесконтактный фоторефрактивный метод определения времени жизни и коэффициента диффузии носителей заряда с трехмерным пространственным разрешением в объеме массивных образцов полупроводника.

1. Фототермические исследования, как известно [¹], позволяют получать информацию о тепловых и электронных свойствах полупроводников. Наиболее успешные, на наш взгляд, попытки определить характеристики переноса носителей заряда в полупроводниках были сделаны на основе «мираж»-эффекта в работах [^{2, 3}]. Методика этих исследований состояла в том, что образец полупроводника однородно освещался светом накачки, поглощающимся вблизи поверхности. При этом в образце возникал градиент показателя преломления, связанный с неравновесными носителями заряда и нагреванием полупроводника. Этот градиент регистрировался по рефракции зондирующего луча, проходящего в объеме образца параллельно его поверхности. Из полученных таким образом зависимостей амплитуды и фазы угла отклонения зондирующего луча от частоты модуляции света накачки в работах [^{2, 3}]¹ удалось определить время жизни, коэффициент диффузии и скорость поверхностной рекомбинации носителей заряда в Si. Недостаток такого метода состоит в сильном тепловом эффекте поверхностной рекомбинации, маскирующем вклад свободных носителей в измеряемый сигнал. Поэтому в работе [³] для определения параметров переноса носителей в Si скорость поверхностной рекомбинации потребовалось снизить до ~450 см/с.

В настоящей работе предлагается новый фоторефрактивный метод, свободный от этого недостатка. Он позволяет определять время жизни и коэффициент диффузии носителей заряда в объеме полупроводников локально с трехмерным пространственным разрешением. Влияние поверхности устраняется использованием слабо поглощающегося сфокусированного луча накачки. Зондирующий луч проходит в объеме образца (рис. 1) перпендикулярно лучу накачки на расстоянии x от него, которое в ходе эксперимента изменяется. Регистрируется угол отклонения зондирующего луча в зависимости от расстояния x . Измерения можно производить и вблизи поверхности образца, при этом возможно локально определять скорость поверхностной рекомбинации. В этой работе мы ограничимся рассмотрением ситуации в объеме.

¹ Попытки реализовать этот метод были предприняты также в серии работ В. В. Зуева, А. Н. Петровского, А. О. Сальника (см., например, [⁴]). Однако в этих работах допущена, по-видимому, методическая ошибка, вследствие которой измеренные зависимости угла отклонения от частоты сильно расходятся с расчетом, если его провести согласно работе [²].

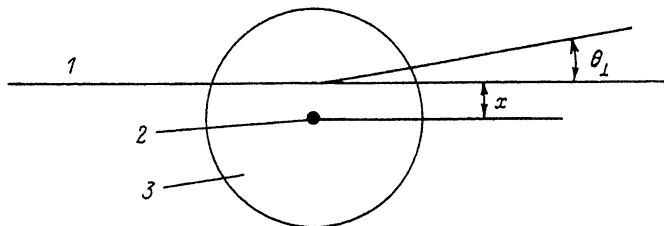
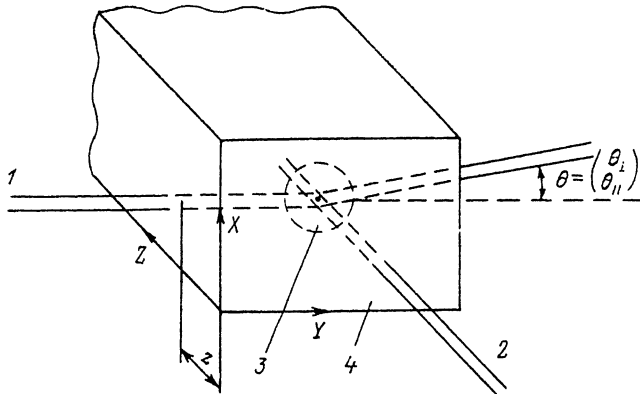


Рис. 1. Ход лучей внутри образца. 1 — зондирующий луч, 2 — луч накачки, 3 — область изменения коэффициента преломления, 4 — образец, z — расстояние от зондирующего луча до поверхности, x — расстояние между лучами.

2. Будем считать, что интенсивность луча накачки модулирована с частотой ω и имеет гауссово распределение с радиусом a , т. е. переменная составляющая интенсивности накачки имеет вид

$$I(r, t) = \frac{P}{\pi a^2} \exp \left(-\frac{r^2}{a^2} - \beta z \right) \exp (-i\omega t),$$

где P — мощность луча накачки, β — коэффициент поглощения света.

Зондирующий луч распространяется вдоль оси Y . Угол его отклонения θ при прохождении вблизи луча накачки определяется градиентом показателя преломления $n^{(\text{opt})}$ и имеет две компоненты: θ_x — перпендикулярно лучу накачки и θ_z — параллельно ему:

$$\theta = \begin{pmatrix} \theta_x \\ \theta_z \end{pmatrix} = \frac{1}{n^{(\text{opt})}} \int_{-\infty}^y dy \nabla n^{(\text{opt})}. \quad (1)$$

Неоднородность показателя преломления связана с его зависимостью от температуры и концентрации носителей заряда:

$$n^{(\text{opt})} = n^{(\text{opt})}(T, n).$$

Неравновесная концентрация носителей вокруг луча накачки определяется уравнением амбиполярной диффузии, а температура — уравнением теплопровод-

ности, в котором тепловые источники обусловлены термализацией электронов и дырок, генерированных светом, их рекомбинацией в объеме и на поверхности. Решение этих уравнений приводит к следующему результату для θ :

$$\begin{pmatrix} \theta_x \\ \theta_z \end{pmatrix} = \text{const} \int_0^{\infty} d\xi \xi \left(\frac{W(\xi, Z)}{\partial W(\xi, Z) / \partial Z} \sin(\xi X) \right) \exp\left(-\frac{\xi^2 A^2}{4}\right), \quad (2)$$

где

$$W(\xi, Z) = \frac{1 - \alpha(\eta^2 - B^2) + Q(\mu^2 - B^2)}{(\mu^2 - B^2)(\eta^2 - B^2)} \exp(-BZ) +$$

$$+ \frac{\sigma + B}{(\sigma + \mu)(\mu^2 - B^2)} \left(\alpha + \frac{1}{\mu^2 - \eta^2} \right) \exp(-\mu Z) + \frac{\sigma}{(\sigma + \mu)(\mu^2 + B^2)} \times$$

$$\times \left\{ \mu \left(1 - \frac{1}{\mu^2 - \eta^2} \right) - B \left[1 + \frac{\mu}{\sigma(\mu^2 - \eta^2)} + \right. \right.$$

$$\left. \left. + \frac{(\sigma + \mu)(1 + Q(\mu^2 - B^2))}{\sigma(\eta^2 - B^2)} \right] \right\} \frac{\exp(-\eta Z)}{\eta},$$

$$\alpha = -\frac{\kappa}{E_g D} \left(\frac{\partial n^{(\text{opt})}}{\partial n} \right) \left(\frac{\partial n^{(\text{opt})}}{\partial T} \right)^{-1},$$

$$\mu = \mu(\xi) \equiv (1 - i\Omega + \xi^2)^{1/2}, \quad \eta = \eta(\xi) \equiv (\xi^2 - i\Omega/\Omega_0)^{1/2},$$

$$Q = \frac{h\nu - E_g}{\gamma E_g}, \quad \sigma = S(\tau/D)^{1/2}, \quad \Omega = \omega\tau, \quad \Omega_0 = \frac{\chi}{D}, \quad L = (D\tau)^{1/2},$$

$$X = x/L, \quad Z = z/L, \quad R = r/L, \quad A = a/L, \quad B = \beta L,$$

κ — коэффициент теплопроводности полупроводника, χ — коэффициент температуропроводности, D — коэффициент амбиполярной диффузии носителей, τ — время жизни носителей, S — скорость поверхностной рекомбинации, $h\nu$ — энергия световых квантов накачки, γ — квантовый выход, E_g — ширина запрещенной зоны полупроводника, z — расстояние от зондирующего луча до поверхности, x — расстояние между лучами.

Формулы (2) позволяют вычислить θ в общем случае. Далее мы ограничимся частным случаем, когда зондирующий луч проходит вдали от освещаемой поверхности ($z \gg 1$). Кроме того, для простоты будем считать, что радиус луча накачки меньше характерных длин диффузии носителей заряда и тепла ($A \ll \ll 1$). Тогда уравнение (2) упрощается:

$$\begin{pmatrix} \theta_x \\ \theta_z \end{pmatrix} = \frac{c}{\pi} \exp(-BZ) \int_0^{\infty} d\xi \xi W_0 \left(\frac{\sin(\xi X)}{-B \cos(\xi X)} \right), \quad (3)$$

где

$$W_0(\xi) = \frac{1 - \alpha(\xi^2 - B^2 - i\Omega/\Omega_0) + Q(\xi^2 + 1 - B^2 - i\Omega)}{(\xi^2 - B^2 - i\Omega/\Omega_0)(\xi^2 + 1 - B^2 - i\Omega)}.$$

Формулы (3) используются далее при анализе результатов экспериментов.

Качественное представление об основных закономерностях измерения угла $\theta(x, \omega)$ можно получить, сделав еще одно упрощение, а именно, положив, что длина затухания света значительно превосходит все характерные длины: $B \ll 1$, (Ω_0/Ω) . В этом случае в уравнении (3) интеграл по ξ берется точно и для θ_x получается следующее выражение:

$$\theta_x = \text{const} \left\{ \left[\alpha + \frac{\Omega_0}{\Omega_0 + i\Omega(1 - \Omega_0)} \right] e^{-\mu_0 x} - \left[Q + \frac{\Omega_0}{\Omega_0 + i\Omega(1 - \Omega_0)} \right] e^{-\eta_0 x} \right\}, \quad (4)$$

где $\mu_0 = (1 - i\Omega)^{1/2}$, $\eta_0 = (-i\Omega / \Omega_0)^{1/2}$. Здесь первое слагаемое («электронная» компонента) обусловлено вкладом неравновесных носителей в оптическую неоднородность (этот вклад пропорционален α) и выделением тепла при рекомбинации носителей. Второе слагаемое («тепловая» компонента) обусловлено выделением тепла при термализации носителей (оно пропорционально Q) и их рекомбинации. Оба слагаемых уменьшаются экспоненциально с расстоянием между лучами. Электронная компонента падает на эффективной длине амбиполярной диффузии:

$$L_{\text{eff}} = \left[\frac{2D\tau}{1 + (1 + \Omega^2)^{1/2}} \right]^{1/2}, \quad (5)$$

а тепловая компонента — на длине тепловой диффузии $l_r = (2\chi/\omega)^{1/2}$.

Для определения характеристик электронного переноса параметры должны быть выбраны таким образом, чтобы преобладала электронная компонента. Для этого достаточно взять частоту такой, чтобы $L_{\text{eff}} > l_r$. В этом случае

$$\theta_x \sim \exp(-x/L_{\text{eff}} + ix/L_p), \quad (6)$$

где

$$L_p = \left[\frac{2D\tau}{-1 + (1 + \Omega^2)^{1/2}} \right]^{1/2}. \quad (7)$$

Видно, что модуль измеряемого сигнала уменьшается с расстоянием x с характерной длиной L_{eff} , а фаза сигнала с расстоянием изменяется линейно с наклоном L_p^{-1} . Таким образом, измеряя модуль сигнала и его фазу в зависимости от x , можно найти L_{eff} и L_p , которые в соответствии с уравнениями (5) и (7) однозначно определяют D и τ . Особенно простые соотношения получаются в случае, когда $\Omega^2 \ll 1$:

$$D = L_{\text{eff}} L_p / 2\omega, \quad \tau = 2\omega L_{\text{eff}} / L_p. \quad (8)$$

3. Для проверки возможности практической реализации предложенного метода нами была разработана и опробована экспериментальная установка, в которой в качестве накачки использовался луч лазера на неодимовом стекле с длиной волны 1.06 мкм, а в качестве зондирующего луча — излучение Не—Не-лазера с длиной волны 1.15 мкм. Для устранения интерференционных явлений из-за отражения на гранях образца зондирующий луч направлялся на образец под углом Брюстера. Отклонение зондирующего луча регистрировалось позиционно-чувствительным приемником и детектировалось по стандартной методике с использованием синхронного детектора.

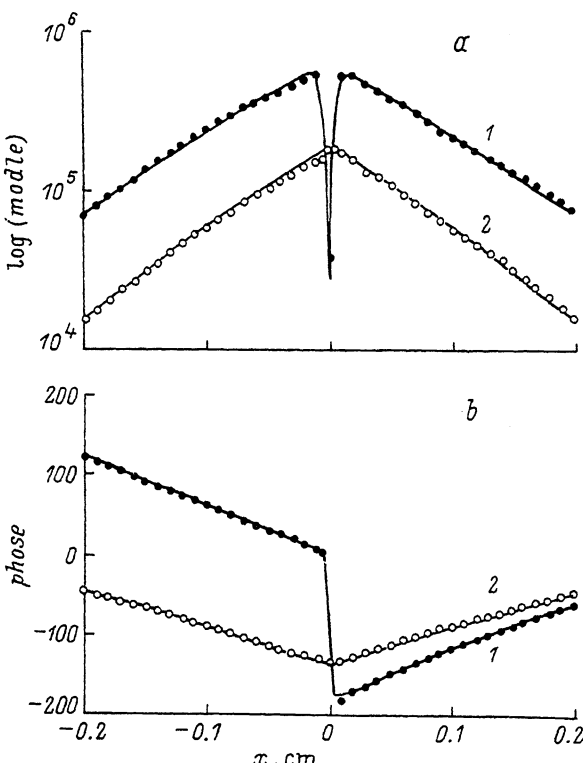


Рис. 2. Модуль (а) и фаза (б) фотопреломленного сигнала в зависимости от расстояния между зондирующими лучом и лучом накачки. Точки: 1 — эксперимент для θ_x , 2 — эксперимент для θ_z при $f = 804$ Гц, $P = 100$ мВт, $z = 0.3$ см; непрерывные линии: 1 — расчет для θ_x , 2 — расчеты для θ_z , полученные согласно уравнению (3) при $\tau = 6.5e^{-4}$ с, $D = 18$ см 2 /с, $\alpha = 3$, $Q = 0.05$.

Исследовались монокристаллические образцы Si с удельным сопротивлением 1—20 000 Ом·см и временем жизни 10^{-3} — 10^{-3} с. Коэффициент поглощения излучения накачки в Si составляет около 10 см^{-1} [5], что позволяет исследовать не только пластины, но и достаточно массивные образцы. Модуляция луча накачки производилась механическим прерывателем в диапазоне частот 10—2000 Гц. Диаметры зондирующего луча и луча накачки в области их взаимодействия составляли около 50 и 100 мкм соответственно. Результирующий уровень шума угла отклонения зондирующего луча в нашей установке составлял $\sim 10^{-8}$ рад·Гц $^{-1/2}$ и определялся шумом зондирующего лазера.

Типичные результаты, полученные при регистрации отклонения зондирующего луча перпендикулярно лучу накачки θ_x и вдоль него θ_z , приведены на рис. 2. На рис. 2, а показана зависимость логарифма амплитуды сигналов, отложенного в произвольных единицах от расстояния x между лучами. Точка $x = 0$ соответствует месту пересечения лучей. По мере сближения лучей амплитуда обеих составляющих сигнала растет. В окрестности точки $x = 0$ величина θ_z достигает максимума, а θ_x резко падает практически до нуля, причем вдали от этой точки обе зависимости имеют вид, близкий к прямым линиям с разными углами наклона. На рис. 2, б показана зависимость фазы сигналов от x . Как видно, вдали от точки $x = 0$ они также имеют вид, близкий к прямым линиям с разными углами наклона. В окрестности точки $x = 0$ наблюдается скачок фазы сигнала на 180° . Небольшая асимметрия графиков относительно точки $x = 0$, по-видимому, связана с неоднородностью образца.

Резкий скачок модуля сигнала θ_x при пересечении лучей ($x = 0$) связан с тем, что на оси луча накачки x -компоненты градиентов ∇n и ∇T обращается в нуль и изменяет знак. Поэтому вблизи этой точки величина θ_x меняет знак, а следовательно, фаза изменяется на 180° . Сигнал θ_z не имеет подобных особенностей, так как z -компонента градиентов ∇n и ∇T не обращается в нуль в этой точке. На рис. 2 также представлены сплошными линиями результаты подгонки расчета к экспериментальным данным с помощью уравнения (3). Подгоночные параметры τ и D подбирались одновременно для амплитуды и фазы углов θ_x и θ_z на участке $x > 0$. Видно, что при одних и тех же параметрах удается достигнуть хорошего согласия теории и эксперимента для всех четырех графиков.

Так как обе проекции фотопрефрактивного сигнала дают в сущности одинаковую информацию о параметрах полупроводника, а величина сигнала для θ_x оказывается больше, чем для θ_z во всех наших опытах (а следовательно, соотношение сигнал / шум для θ_x выше), в этой работе мы ограничились исследованием только сигнала θ_x .

Полученные в результате подгонки теории к эксперименту значения τ и D приведены в таблице, где для сравнения помещены результаты независимых измерений τ , выполненных нами по анализу спада фотопроводимости.

ρ , Ом · см	Тип	Спад фотопроводимости τ , мкс	Фоторефракция	
			τ , мкс	D , $\text{см}^2/\text{с}$
20 000	<i>n</i>	900	1050	18
1800	<i>p</i>	300	350	17.5
35	<i>n</i>	800	700	14
5	<i>p</i>	250	300	31

Из таблицы видно, что полученные на разных образцах значения коэффициента диффузии носителей заряда близки к известным для кремния значениям [6]: коэффициент диффузии дырок — 12, электронов — 36 и коэффициент амбиполярной диффузии — $18 \text{ см}^2/\text{с}$.

Такое поведение коэффициента диффузии несложно понять, если учесть, что измерения проводились на образцах разного типа проводимости с существенно различающимися равновесными концентрациями основных носителей. Тогда при малой равновесной концентрации, меньшей, чем концентрация фотовозбужденных носителей заряда, вне зависимости от типа проводимости и должен проявляться коэффициент амбиполярной диффузии, соответствующий равным концентрациям свободных электронов и дырок. Именно такое поведение и наблюдалось в экспериментах с высокоомными образцами (первые две строки таблицы).

Иная картина наблюдается в случае низкоомных образцов (две нижние строки таблицы), когда концентрация фотовозбужденных носителей заряда была меньше равновесной. В этом случае, как известно, все определяется коэффициентом диффузии неосновных носителей заряда, что, как видно из таблицы, и наблюдалось на опыте: в материале *n*-типа проявляется коэффициент диффузии дырок, а в материале *p*-типа — коэффициент диффузии электронов. Таким образом, видно, что предлагаемый метод позволяет определять значения коэффициентов диффузии с неплохой точностью.

То же можно сказать и про точность определения времени жизни. Сравнение значений времени жизни, полученных фотопрефрактивным методом и по спаду фотопроводимости, показывает, как видно из таблицы, неплохое согласие результатов и демонстрирует тем самым возможности использования фотопрефрактивного метода для проведения таких измерений. При этом точность метода, составлявшая в реализованном варианте не хуже 20%, как показал анализ, может быть

улучшена использованием более совершенных методов обработки результатов и
увеличением времени интегрирования при измерениях.

СПИСОК ЛИТЕРАТУРЫ

- [1] V. A. Sablikov, V. B. Sandomir'skii. Phys. St. Sol. (b), **120**, 471 (1983).
- [2] A. Skumanich, D. Fournier, A. C. Boccara, N. M. Amer. Appl. Phys. Lett., **47(4)**, 402 (1985).
- [3] D. Fournier, A. C. Boccara, A. Skumanich, N. M. Amer. J. Appl. Phys., **59**, 787 (1986).
- [4] Б. В. Зуев, А. Н. Петровский, А. О. Сальник. Электронная промышленность, вып. 5(173), 28 (1988).
- [5] G. G. Macfarlane, T. P. Mclean, J. E. Quarrington, V. Roberts. Phys. Rev., **111**, 1245 (1958).
- [6] С. Зи. Физика полупроводниковых приборов, т. 1. 455. М. (1984).

Редактор В. В. Чалдышев
